

II-126 碎波変形を考慮した規則波のうちあげ高さの算定式

東北大学工学部 正会員 ○小川由信
東北大学工学部 正会員 首藤伸夫

1. はじめに

自然海岸への波のうちあげ高さを見積ることは、海浜変形の予測あるいは海岸構造物の設計上重要な課題である。うちあげ高さに関しては従来より多くの実験式が提案されているが、その多くが海岸堤防を対象とした急勾配斜面を扱っているに過ぎない。しかし、次元解析の手法によって冲浪諸量と直線結びつけた形でうちあげ高さを表わしているため、式の物理的意味は明確とは言い難い。これに対し、碎波変形あるいはwave set-upによりうちあげ高さを表わす試みがVan Dorn¹⁾、道・渡辺²⁾により行なわれているが、算定式を得るには至っていない。

そこで本研究では、碎波する規則波を対象として、従来の碎波変形およびドライベッド上の波の運動に関する研究成果を考慮することによりうちあげ高さの算定式を求め、他の実験式ないし実験値と比較する。

2. 従来の研究成果

(1) 碎波変形過程

平均的な碎波指標は合田³⁾により図表化されており、水口⁴⁾はこれを次のように定式化している。

$$\frac{H_b}{H_0} = S^{0.2} \left(\frac{H_0}{L_0} \right)^{-0.25} \quad \text{但し } 0.01 < S < 0.1 \quad \dots \dots (1)$$

$$0.003 < H_0/L_0 < 0.07$$

$$\frac{H_b}{h_b} = 1.5 S^{0.3} \left(\frac{h_b}{L_0} \right)^{-0.1} \quad \text{但し } 0.03 < S < 0.1 \quad \dots \dots (2)$$

$$0.01 < h_b/L_0 < 0.05$$

ここで、 H_0 : 沖浪波高、 L_0 : 沖浪波長、 S : 斜面勾配、 H_b : 碎波限界波高、 h_b : 碎波限界水深 である。

次に、波のうちあげを考える際の基準点を静水汀線にとることとする。碎波帯内で斜面勾配 S_S が一定の場合、佐々木・佐伯の平均的な碎波後の波高曲線から静水汀線の波高 H_s は図-1中の黒丸のようにプロットされる。これをベキ乗回帰して次式を得る（図-1の実線）。

$$\frac{H_s}{H_b} = 3.04 \cdot S_S^{1.07} \quad \text{但し } 0.011 < S < 0.1 \quad \dots \dots (3)$$

(2) 波のうちあげ過程

波先端の運動をShen-Meyer⁶⁾にならって次式で近似する。

$$x_f(t) = U_0 t - \frac{1}{2} g m t^2 = -\frac{1}{2} g m \left(t - \frac{U_0}{g m} \right)^2 + \frac{U_0^2}{2 g m} \quad (4)$$

ここで、 x_f : 波先端軌跡（ドライベッドへの逆上開始点を原点とし岸向きを正とする）、 t : ドライベッドに逆上し始めてからの時間、 g : 重力加速度、 U_0 : 初速、 m : 前浜勾配 である。著者の一人が行なった段波状の単一波の実験結果によると、波先端軌跡を(4)式で近似すると U_0 とうちあげ開始点での波高 H_r には図-2の関係があり、次式で比例係数 F はほぼ2となる。

$$U_0 = F \cdot \sqrt{g \cdot H_r} \quad \dots \dots (5)$$

また、規則波の場合、逆上時・逆下時とともに(4)式で波先端が表わされるならば、 $t = T/2$ で x_f は最大値となる必要がある。従って、

$$t = \frac{T}{2} = \frac{U_0}{g m} \quad \dots \dots (6)$$

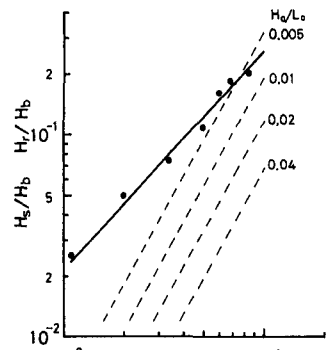


図-1. H_s および H_r

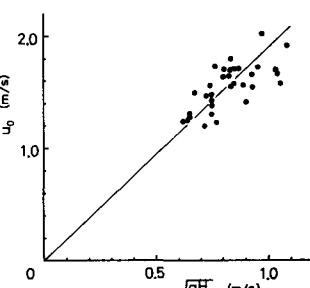


図-2. U_0 と H_r の関係

(1)(5)(6)式よりドライベッドに遡上し始める地点での波高 H_r は次式で表わされる。

$$\frac{H_r}{H_b} = \frac{\pi}{2F^2} m^2 S^{0.2} \left(\frac{H_0}{L_0}\right)^{-0.75} \quad \cdots \cdots (7)$$

一様勾配斜面 ($S = m$) の場合の H_r を図-1 中の破線で示す。 H_r は H_s に比べ斜面勾配への依存性が強く、しかも波形勾配により変化する。また、 H_r が H_s を上回るのは、静水汀線で既にドライベッドになっていることを意味している。

3. うちあげ高さの算定式(一様勾配斜面)

うちあげ高さ R_r は、ドライベッド領域の幅 R_d (高さ表示) とドライベッドへの遡上開始点の静水面上の高さ R_r の和で求められる。 R_d は、(4)(6)式より

$$R_d = \chi_{f, \max} \cdot S = \frac{T^2}{8} g S^2 = \frac{\pi}{4} L_0 \cdot S^2 \quad \cdots \cdots (8)$$

となる。 R_r については、戻り流れ、斜面による波の反射など複雑な要因が含まれ、現在のところ正確に見積ることはできない。多くの場合 $H_s > H_r$ となることを考慮して、ここでは碎波による波高変化を外挿する方法をとる。佐々木・佐伯によれば⁸⁾、 h/h_b が 0.2 以下では H/H_b は直線的に変化し、その変化率 α は斜面勾配、波形勾配によらずほぼ一定 (0.5 ~ 0.6) である。従って、図-3 より R_r は式(9)のように求まる。

$$R_r = \frac{h_b}{\alpha} \left(\frac{H_s}{H_b} - \frac{H_r}{H_b} \right) \quad \cdots \cdots (9)$$

以上の(8)(9)式に(1)(2)(3)(7)式を代入すると、沖波諸量と斜面勾配の関数として相対うちあげ高さ R/H_0 は次のように表わされる。ただし、適用範囲は $0.003 < H_0/L_0 < 0.07$ 、 $0.03 < S < 0.1$ 、 $0.01 < h_b/L_0 < 0.05$ である。(10)式で $\alpha = 0.6$ 、 $F = 2.2$ としたうちあげ高さと、道・渡辺⁹⁾、Van Dorn¹⁰⁾の実験結果および Hunt¹¹⁾、Savage¹²⁾の式を比較したのが図-4 である。式(10)

$$\frac{R}{H_0} = \frac{0.637}{\alpha} \left(\frac{H_0}{L_0} \right)^{-0.167} \cdot S \left\{ 3.04 - \frac{\pi}{2F^2} S^{0.7} \left(\frac{H_0}{L_0} \right)^{-0.75} \right\} + \frac{\pi}{4} S^2 \cdot \left(\frac{H_0}{L_0} \right)^{-1.0} \quad \cdots \cdots (10)$$

による算定値は適用範囲内で Hunt の式 (本来の適用範囲は $S > 0.1$) に比べ実験値との一致度は良い。なお、適用範囲外の $S = 0.33$ の場合は過大評価となる。

4. おわりに

碎波変形を考慮したうちあげ高さ算定式を求めた。既往の実験結果と比較した結果、この算定式は比較的良い近似を与えることが明らかになった。なお、今後の課題を以下に列記する。(1) 汀線付近での波の変形を明確にし、 α 、 F の値を再検討する。(2) うちあげ高さに及ぼす粗度、透水性の効果を¹³⁾、(2)の波のうちあげ過程の変化という立場で検討する。(3) 非一様勾配斜面に対し、同様の方法でうちあげ高さを求める。(4) 岩田らの指摘するおり先水深の効果を碎波指標の再検討により評価する。

《参考文献》 1) Van Dorn; I.C.C.E., 1976, pp 738-751 2) 道・渡辺; 第37回国年講 II, 1982, pp 869-870 3) 合田; 土木学会論文集, 180号, 1970.8 4) Mizuguchi; I.C.C.E., 1980, pp 278-289 5) 佐々木・佐伯; 第21回国海講, 1974, pp 39-44 6) Shen, Meyer; J.F.M. vol. 16 pp 113-125 7) 塩井・首藤; 東北支部, 昭和56年度 8) 前出5) 9) 前出2) 10) 前出1) 11) Hunt; Proc. A.S.C.E. WW3, Sept. 1959, pp 123 12) Savage; Proc. A.S.C.E. WW3, May 1958 13) 岩田ら; 第23回国海講, 1976, pp 164-169

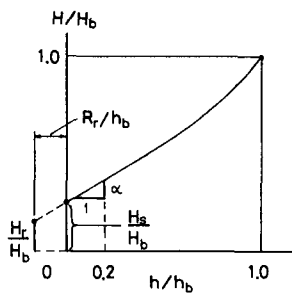


図-3. R_r の算定法

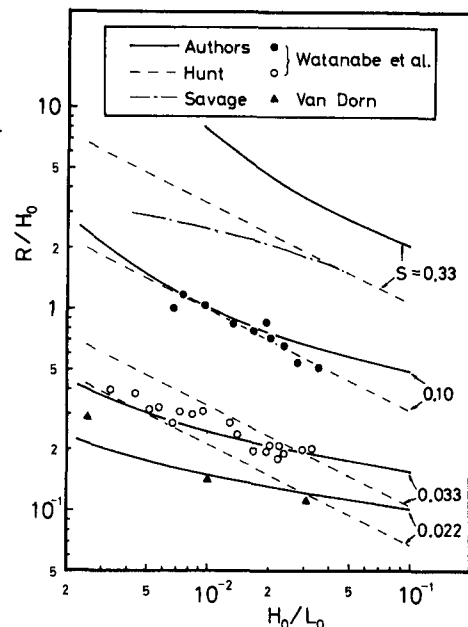


図-4. うちあげ高さの比較